

دراسة النحر في الأرضيات الحصوية مؤخر الهدارات والبوابات المركبة
بهزاد محمد علي نوري موفق يونس محمد الجبوري أحمد عبد الحميد أحمد القحطان

أستاذ مساعد
مدرس
قسم هندسة الموارد المائية
كلية الهندسة - جامعة دهوك

الخلاصة

تم في هذا البحث دراسة خصائص النحر مختبرياً مؤخر الهدارات والبوابات المركبة ، اذ تضمنت الدراسة قياس أقصى عمق وأقصى طول لحفرة النحر مؤخر تلك المنشآت وتأثير ارتفاع المنشآت وأرتفاع الفتحة أسفل المنشآت و التصريف المار في القناة وحجم مواد القعر عليهم حيث أجريت (234) تجربة في قناة مختبرية حرسانتية واستخدمت في التجارب ثلاثة نماذج من الحصى المكسر تراوح معدل قطرها (D_{50}) بين (1.43-2.21) سم وثلاثة ارتفاعات للمنشآت (15, 20 و 30) سم وثلاثة ارتفاعات للفتحة أسفل المنشآت (1 و 2 و 3) سم ، بینت النتائج المختبرية وجود علاقة خطية طردية جيدة بين العمق النسبي للنحر (D_s/D_{50}) مع رقم فرود (Fr_0) بمعامل تحديد (R^2) تراوح بين (0.9911-0.9729) و اخرى بين الطول النسبي للنحر (L_s/D_{50}) مع (Fr_0) بمعامل تحديد (R^2) تراوح بين (0.9947-0.9636) بالنسبة للهدارات . وعلاقة خطية طردية جيدة بين (D_s/D_{50}) مع (Fr_0) بمعامل تحديد (R^2) تراوح بين (0.9866-0.972) ومع (q_u/q_d) بمعامل تحديد (R^2) تراوح بين (0.9904-0.9608) و اخرى بين (L_s/D_{50}) مع (Fr_0) بمعامل تحديد (R^2) تراوح بين (0.9861-0.9985) ومع (q_u/q_d) بمعامل تحديد (R^2) تراوح بين (0.9955-0.9847) بالنسبة للبوابات المركبة . كما تم استبيان علاقات وضعية الأولى لحساب (D_s/D_{50}) بمعامل تحديد ($R^2=0.9311$) والثانية لحساب (L_s/D_{50}) بمعامل تحديد ($R^2=0.9421$) مؤخر الهدارات وكلاهما بدلاة (Fr_0) و الثالثة لحساب (D_s/D_{50}) بمعامل تحديد ($R^2=0.8989$) والرابعة لحساب (L_s/D_{50}) بمعامل تحديد ($R^2=0.9212$) مؤخر البوابات المركبة بدلاة (Fr_0) و ($\Delta H_t/P$) و ($h_0/\Delta H_t$) و (q_u/q_d) ، كما وتبين من البحث بأن الجريان أعلى و أسفل البوابة المركبة يقل من عمق حفرة النحر وطولها عنه فيما لو كان الجريان أعلى الهدار فقط ولكن نسبة التقليل تقل بزيادة ارتفاع الفتحة أسفل البوابة المركبة .

Laboratory Comparison Study of Scour Downstream Weirs and Compound Gates

Bahzad M. A. Noori
Asst. Prof.
Dept. of Civil Eng.
Coll. of Eng. / Univ. of Duhok

Mwafaq Y. M. Aljubori
Lect.
Dept. of Water Recourses Eng.
Coll. of Eng. / Univ. of Mosul

Ahmad A. A. Alkatan

Abstract

In the present investigation , a laboratory study of scour characteristics downstream weirs , compound gates has been conducted . The study included the measurement of maximum scour depth and the length of scour hole downstream these structures . Also , the effects of structure height , undersluice opening height , discharge variation and bed material size on the depth and length of scour hole , Two hundred eighty eight Experiments were conducted in a concrete laboratory channel Three sizes of rocks were used are in range of (1.43-2.21) cm and three of 15,20 and 30cm and Three under gate opening heights of 1,2 and 3cm were tested Experimental. Results of this study showed a good direct relationships between relative scour depth (D_s/D_{50}) with Froud Number (Fr_0) of correlation factor (R^2) between (0.9729-0.9911) and other between relative scour length (L_s/D_{50}) with (Fr_0) of correlation factor (R^2) between (0.9636-0.9947) for weirs and another good direct relationships between (D_s/D_{50}) with (Fr_0) of correlation factor (R^2) between (0.972-0.9866) and with (q_u/q_d) of correlation factor (R^2) between (0.9608-0.9904) and other relationship between (L_s/D_{50}) with (Fr_0) of correlation factor (R^2) between (0.9861-0.9985) and with (q_u/q_d) of correlation factor (R^2) between (0.9847-0.9955), many relationships were obtained the first to estimate (D_s/D_{50}) of correlation factor ($R^2=0.9311$) , the second for (L_s/D_{50}) of correlation factor ($R^2=0.9421$) downstream weirs each of them in terms of (Fr_0) and ($\Delta H_w/P$) , the third to estimate (D_s/D_{50}) of correlation factor ($R^2=0.8989$) and the forth for (L_s/D_{50}) of correlation factor ($R^2=0.9212$) downstream compound gates each of them in terms of (Fr_0),($\Delta H_w/P$),($h_0/\Delta H_t$) and (q_u/q_d) . It was also shown that the scour depth and length downstream compound gates are less than those downstream weirs but the percentage decrement will decrease if the opening of compound gate is increased .

Key Words : Hydraulic, Scour , Scour Downstream Weirs and Compound Gates .

قبل في 2/12/2008

أستلم في 10/6/2008

قائمة الرموز

الرمز	النسمية	الرمز	النسمية	الرمز	النسمية	الرمز
Y_n	النسبة بين عمق الجريان إلى عرض القناة .		عمق الماء فوق حافة المنشأ .	h'	معاملات.	$a_1, b_1, a_2, b_2, a_3, b_3, a_4, b_4, a_5, b_5, a_6, b_6$
ΔH_t	الفرق بين منسوب الماء مقدم ومؤخر البوابة المركبة.		ارتفاع الفتحة السفلية للبوابة المركبة .	h_0	ثابت المعادلة (Eggenberger) وتعتمد قيمته على النسبة بين التصريف الماء فوق البوابة إلى الماء تحتها.	C
ΔH_w	الفرق بين منسوب الماء مقدم ومؤخر الهدار.		ارتفاع المنشأ.	P	عمق حفرة النهر.	D_s
$\Delta \rho_s$	الفرق بين الكثافة الكلية لمواد القعر والماء .		التصريف الكلي لوحدة العرض الماء أعلى البوابة المركبة.	q_t	متوسط قطر مواد القعر .	D_{50}
ρ_w	الكثافة الكلية للماء.		التصريف لوحدة العرض الماء أعلى البوابة المركبة.	q_u	قطر فتحة المنخل التي تمرر 90% من مواد القعر.	$09D$
μ	الزروجة الديناميكية.		التصريف لوحدة العرض الماء أسفل البوابة المركبة.	q_d	رقم فرود بدلالة كثافة مواد القعر.	Fr_0
			التصريف لوحدة العرض الماء فوق الهدار.	q_w	عمق الجريان مؤخر البوابة المركبة.	h_{2t}
			رقم رينولز .	Re	عمق الجريان مؤخر الهدارات.	h_{2w}

1. المقدمة :

إن خزن المياه مقدم السدود والهدارات في الأنهر والقنوات المفتوحة يستفاد منه في الاستخدام البشري والزراعي والصناعة فضلاً عن الاستخدامات الأخرى ، إن الجانب الاقتصادي من الجوانب المهمة والواجب دراستها عند إقامة تلك المنشآت إذ يجب الأخذ بنظر الاعتبار توفر المواد في المنطقة التي سيتم فيها إقامة المنشأ من حيث مادة المنشأ نفسه وكذلك المواد المستخدمة في فرش الأرضية مؤخر هذا المنشأ، فإذا توفر حجر بحجم ونوعية مناسبين قدر الإمكان يجذب استخدامه بدلاً عن استخدام أرضية خرسانية مؤخر المنشأ والتي يكون الغرض الأساسي منها هو تبديد طاقة الجريان الماء فوق حافة الهدار ، إلا إن استخدام أرضية حصوية له العديد من المحاذير منها حصول النهر في تلك الأرضية الأمر الذي يؤدي وبالتالي إلى رفع تلك المواد عن القعر وتركة معرضة للجريان الماء فوق حافة الهدار بكل طاقته الأمر الذي يؤدي وبالتالي إلى تأكل ذلك القعر فيؤثر ذلك سلباً على استقرارية المنشأ وبالتالي فشله (الحافظ ، 2005) ، ويعرف النهر الناتج من السقوط الحر للماء من فوق حافة الهدار بأنه إزاحة مواد القعر بفعل طاقة الجريان وتحريكها إلى بعد مسافة مؤخر الهدار مما يكون حفرة للنهر في مؤخره والتي تؤثر سلباً على استقراره ، كما يعرف النهر الناتج من السقوط الحر للماء من فوق حافة البوابة المركبة والجريان الخارج من البثق الموجود أسفلها فهو إزاحة مواد القعر بفعل الطاقة المشتركة لهذين النوعين من الجريان مما يؤدي إلى تحريك جزيئاتها إلى بعد مسافة مؤخر البوابة المركبة وتكون حفرة للنهر والتي تؤثر سلباً على استقرارها أيضاً.

2. عرض البحوث السابقة :

لقد عنيت مشكلة النهر مؤخر المنشآت الهيدروليكيه كالهدارات والمساقط المائية والسدود وغيرها ومنذ القدم بالكثير من الاهتمام من قبل الباحثين لما لذاك المشكلة من تأثير سلبي على تلك المنشآت ، درس العديد من الباحثين أمثل ايكنبركر (Eggenberger,1943) وايماز (Uyumaz,1988) النهر مؤخر البوابات المركبة العمودية والباحثون دارگاهي (Dargahi,2003) واستنتجوا المعادلات أدناه لحساب عمق وطول النهر ، ودرس الباحث چين وأخرون (Chen, et al, 2005) مخترباً النهر مؤخر الهدارات وتأثير الاختلاف في مستوى الماء مقدم ومؤخر تلك الهدارات على طول حفرة النهر وتوصلوا إلى أن الفرق بين منسوب الماء مقدم ومؤخر الهدارات يزداد بزيادة رقم فرود للجريان وان طول حفرة النهر تتأثر بخصائص الهدار الهندسية وقطر مواد القعر ورقم فرود و السرعة الحرجة للجريان والتي عندها تبدأ

مواد القعر بالحركة وان السرعة الحرجة على عدة عوامل أهمها الوزن النوعي لمواد القعر. وقدم بعضهم معادلات لحساب خصائص النهر مؤخر المنشآت ، ودرس الباحث القطبان (2007) النهر مؤخر الهدارات والبوابات المركبة ، وقد وضح الباحث Simons and Şentürk,1992 (النهر مؤخر المنشآت الهيدروليكيه المختلفة كالهدارات والسدود وغيرها ، كما قارن الباحثأساي و آخرون (Asai, et al, 2002) في دراستهم المختبرية بين عمق حفرة النهر و امتدادها في حالة جريان الماء فوق هدار ذي حافة حادة و هدار مائل المؤخر بعده ميلو و استنتجوا ان عمق النهر يزداد في القتوات ذات القعر المائل عنه في القتوات ذات القعر الأفقي :-

$$D_s = C \left(\frac{\Delta H_t^{0.2} q_t^{0.6}}{D_{90}^{0.4}} \right) - h_{2t} \quad \text{----- Eggenberger (Dargahi,2003)}$$

$$D_s = w \frac{\Delta H_t^{0.5} q_t^{0.6}}{D_{90}^{0.4}} \quad \text{----- Uyumaz}$$

$$\frac{D_s}{\Delta H_w} = \left(\frac{\Delta H_w}{D_{50}} \right)^a \quad \text{----- Dargahi}$$

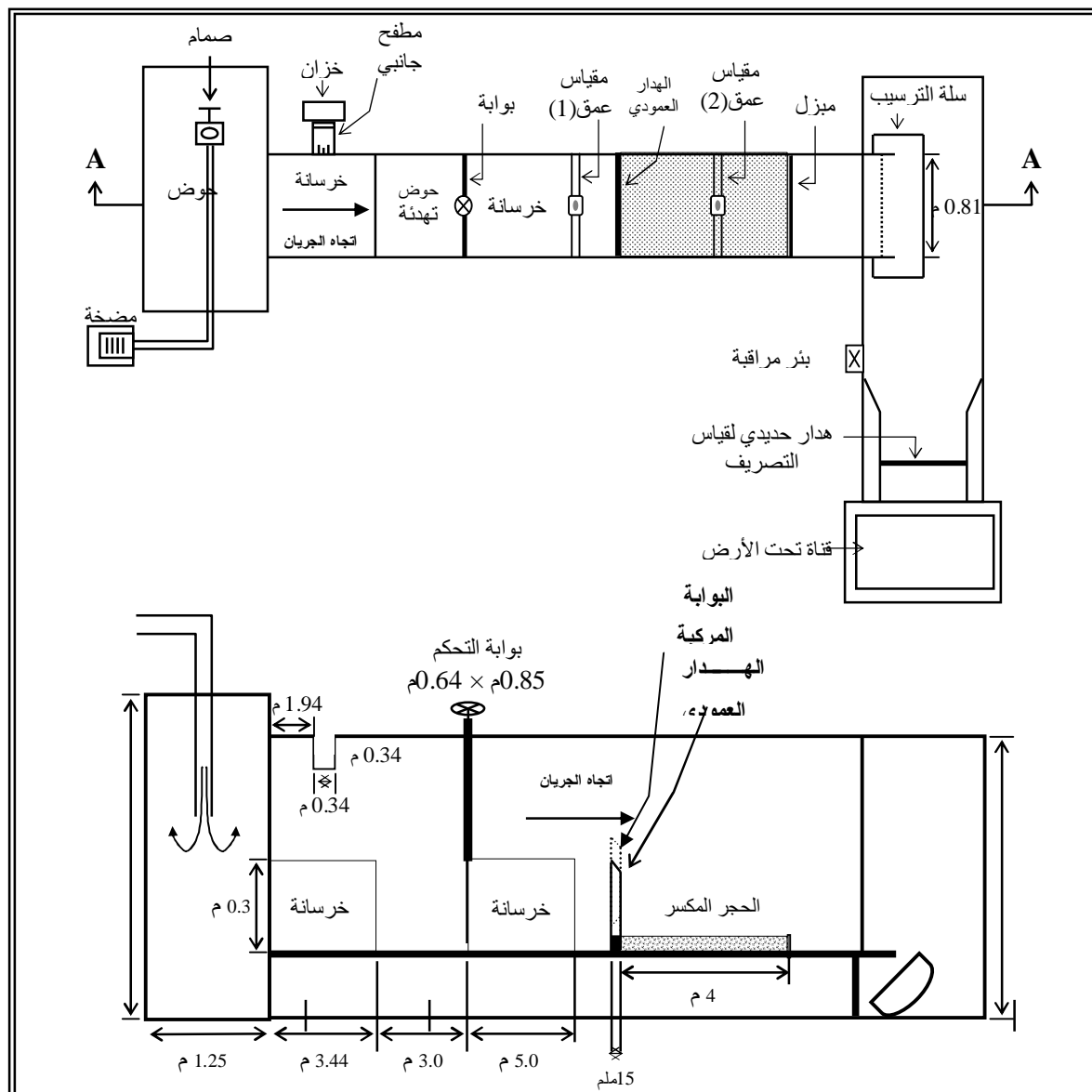
$$\frac{L_s}{\Delta H_w} = \left(\frac{\Delta H_w}{D_{50}} \right)^b \quad \text{----- Dargahi}$$

حيث اعتمدت قيمة الأس (a و b) على قيمة (Y_n) = النسبة بين عمق الجريان إلى عرض القناة) إذ كانت (a=1/12,b=1/3) (Y_n=0.5) و (a=1/3,b=1/4.5) (Y_n=0.167).

3. العمل المختبري :

أجريت التجارب في قناة مشيدة من الخرسانة بطول (24.64) م و عرض (0.81) م و عمق (0.76) م ، ثبتت على جداري القناة الخرسانية سكة حديدية تسهل حركة أجهزة قياس العمق (Point Gages) على طول القناة ، تتصل القناة في مقدمتها بحوض تغذية بأبعاد (2.25 × 1.25) م و بعمق (1.2) م ، ويكون الجريان فيها من النوع كامل الدوران أي يجهز بواسطة مضخة ومن ثم يعود إلى الحزان والشكل (1) يوضح مقطع القناة المختبرية ، تم رفع منسوب أرضية القناة بمقدار (30) سم من بداية القناة بطول (3.44) م يليه حوض تهيئة بأبعاد (3 × 0.81) م و بعمق (0.3) م ، من ثم بوابة التحكم بعمق الماء نهاية حوض التهيئة بعدها يثبت نموذج الهدار على بعد (7.5) م في مؤخر بوابة التحكم بعمق الجريان وذلك لضمان الحصول على جريان هادئ و منتظم عند الهدار المستخدم في التجارب حيث تم تصنيع ثلاثة نماذج للهدارات من ألواح خشبية بسمك (15) ملم و عرض (81) سم أي عرض مقطع القناة الخرسانية ، وبارتفاعات (15) و (20) و (30) سم على التوالي ، إذ كانت الهدارات المستخدمة ذات حافة حادة (Sharp Crested Weir) بعرض قمة تساوي (2) ملم و تتحدر حوافهم بزاوية (60°) مع الأفق حسب المواصفات البريطانية (British Standard Institution, 1965). تنزلق هذه الهدارات الخشبية داخل ساقية معدنية ثبتت على الجدران الجانبية للقناة الخرسانية وذلك لضمان حرکة البوابات إلى الأعلى و الأسفل ومنها يتم الحصول على فتحة أسفل البوابة بارتفاعات متعددة مما يجعل الهدار يعمل كبوابة مركبة ، ثم يفرض الحصى المكسر ويتم التأكيد من استوائته أي أن يكون سطح نموذج الحصى المكسر موازيًا لقعر القناة ، يمرر بعدها الجريان في القناة وضمن العمق المطلوب ، ويستمر الجريان لفترة لائق عن ساعتين حتى يسقى نموذج الحصى المكسر وتتوقف حركة مواد القعر عندها يتم إيقاف المضخة ويتراك الماء الذي ينزل من القناة تماماً من مبذل لصرف الماء والذي هو عبارة عن مشبك حديدي ذي فتحات معينية الشكل طول ضلع (0.9) سم و ببعد (0.3) م × 0.8 م موضعية داخل إطار من الألمنيوم مثبت على جدران القناة ثم تقام عمقة النهر طولياً وعرضياً في القناة لمسافة رجوع منسوب الحصى إلى مستوى الصفر وتؤخذ أقصى قيمة للعمق باعتبارها عمق حفرة النهر بعدها يقاس طول حفرة النهر باستخدام شريط القياس من نهاية المنشأ مباشرة إلى نقطة رجوع منسوب الحجر إلى مستوى الصفر ووضحت النتائج المتمثلة بعمق وطول حفرة النهر وعمق الجريان مؤخر المنشأ والفرق في منسوب الماء مقدم ومؤخر المنشأ والتصريف لوحدة العرض المار في القناة لنموذج الحجر المكسر (A) في الجداول من (1) إلى (4) . ثم يسوى سطح الحصى المكسر ثانية ويصفر مقياس العمق الثاني عليه ، تعاد الخطوات السابقة لستة تصارييف أخرى مختلفة يرفع بعد

ذلك الهدار عن الصبة الخرسانية لارتفاع (1 سم) وحينها يصبح عمل الهدار مركباً وذلك لأن الجريان سيمر فوق الهدار ومن أسفله أيضاً ، تكرر العملية لارتفاعين آخرين للفتحة أسفل الهدار ، يستبدل الحجم الأول للحجر المكسر بالحجم الثاني، ومن ثم بالحجم الثالث ، ويوضح الجدول (5) برنامج التجارب المختبرية .



الشكل (1) : القناة المختبرية التي أجريت فيها التجارب

جدول (1) : قياسات تجارب الهدار بالارتفاع الأول (P_1) مع النموذج (A)

$h`$ (cm)	D_s (cm)	L_s (cm)	h_{2t} (cm)	ΔH_w (cm)	q_w ($m^3/sec/m$)
2	4.2	14.8	3.00	14.00	0.0295
3	4.4	16.1	0.83	14.20	0.0348
4	6.7	20.1	0.54	14.50	0.0435
5	8.2	24.8	0.15	14.90	0.0519
6	9.8	28.7	09.5	15.10	0.0617
7	11.5	34.3	06.1	15.90	0.0712
8	12.5	39.0	07.6	16.30	0.0795

جدول (2) : قياسات تجارب البوابة المركبة بالارتفاع الأول والفتحة الأولى ($V_{1,1}$) مع النموذج (A)

$h`$ (cm)	D_s (cm)	L_s (cm)	h_{2t} (cm)	ΔH_t (cm)	q_u ($m^3/sec/m$)	q_d ($m^3/sec/m$)	q_t ($m^3/sec/m$)
2	3.9	16.1	6.10	11.90	0.0056	0.0435	0.0491
3	4.1	17.8	7.00	12.00	0.0101	0.0431	0.0531
4	5.8	22.2	7.90	12.10	0.0154	0.0443	0.0597
5	6.7	28.1	8.90	12.10	0.0215	0.0464	0.0679
6	8.1	31.7	9.70	12.20	0.0283	0.0479	0.0762
7	9.0	34.0	10.80	12.30	0.0358	0.0491	0.0849
8	10.2	40.2	11.60	12.40	0.0440	0.0510	0.0950

جدول (3) : قياسات تجارب البوابة المركبة بالارتفاع الأول والفتحة الثانية ($V_{2,1}$) مع النموذج (A)

$h`$ (cm)	D_s (cm)	L_s (cm)	h_{2t} (cm)	ΔH_t (cm)	q_u ($m^3/sec/m$)	q_d ($m^3/sec/m$)	q_t ($m^3/sec/m$)
2	3.7	17.0	7.00	12.00	0.0056	0.0527	0.0583
3	4.0	19.2	8.00	12.00	0.0100	0.0531	0.0631
4	5.1	25.1	8.90	12.10	0.0153	0.0552	0.0705
5	6.1	29.0	9.70	12.30	0.0214	0.0569	0.0783
6	6.9	33.2	10.50	12.50	0.0282	0.0576	0.0858
7	8.2	35.1	11.50	12.50	0.0357	0.0586	0.0943
8	9.4	41.5	12.10	12.90	0.0438	0.0580	0.1018

جدول (4) : قياسات تجارب البوابة المركبة بالارتفاع الأول والفتحة الثالثة ($V_{3,1}$) مع النموذج (A)

$h`$ (cm)	D_s (cm)	L_s (cm)	h_{2t} (cm)	ΔH_t (cm)	q_u ($m^3/sec/m$)	q_d ($m^3/sec/m$)	q_t ($m^3/sec/m$)
2	6.6	15.8	9.30	10.70	0.0056	0.0690	0.0746
3	7.1	23.3	9.90	11.10	0.0100	0.0708	0.0808
4	7.9	25.0	10.30	11.70	0.0153	0.0722	0.0875
5	8.0	28.5	11.40	11.60	0.0214	0.0727	0.0941
6	9.1	32.8	12.00	12.00	0.0282	0.0724	0.1006
7	10.2	40.0	12.70	12.30	0.0356	0.0737	0.1093
8	11.9	46.3	13.60	12.40	0.0437	0.0751	0.1188

جدول (5) : توضيح برنامج العمل المختبري

رقم التجربة	معدل قطر مواد الضرر (سم)	ارتفاع الهدار (سم)	ارتفاع الفتحة السفلية (سم)	مدى التغير بارتفاع الماء فوق حافة المنشأ (سم)
الهدارات				
2,3,4,5,6,7,8	0	15	1.43	21-1
		20		
		30		
		15		
	0	20	1.75	42-22
		30		
		15		
2,3,4,5,6,7,8	0	20	2.21	63-43
		30		
		15		
2,3,4,5,6,7,8	1	15	1.43	84-64
		20		
		30		
	2	15		104-85
		20		
2,3,4,5,6,7	1	30	1.75	120-105
		15		
		20		
	2	30		141-121
		15		
2,3,4,5,6,7,8	2	30		161-142
		15		
		20		
	3	30		177-162
		15		
2,3,4,5	1	30	2.21	198-178
		15		
		20		
	2	30		218-199
		15		
2,3,4,5,6,7	1	30		234-219
		15		
		20		
	2	30		
		15		
	3	30		
		15		

4. التحليل البعدي:

* التحليل البعدي بالنسبة للهدارات :

إن العوامل المؤثرة على عمق وطول حفرة النهر مؤخر الهدارات عديدة ويمكن صياغة علاقة عامة لكل من عمق حفرة النهر (D_s) وطول حفرة النهر (L_s) وكما يلي :

$$D_s, L_s = f(q_w, D_{50}, P, \Delta H_w, g, \Delta \rho_s, \rho_w, \mu) \quad \dots \dots \dots (1)$$

وباستخدام التحليل البعدي بطريقة (Pi-theorem) للمتغيرات في المعادلة (1) تم التوصل إلى العلاقة اللاابعية التالية بالنسبة للهارات :

$$\frac{D_s}{D_{50}}, \frac{L_s}{D_{50}} = f\left(\frac{\Delta H_w}{P}, Fr_0, Re\right) \quad \dots \dots \dots (2)$$

عندما تكون قيم أرقام رينولدز عالية يصل الجريان إلى الاضطراب الكامل عندها يضمن رقم رينولدز في القنوات المفتوحة وبذلك يمكن إهماله (Chow, 1959) ونتيجة لذلك يمكن إسقاط تأثيره من العلاقة (2).

* التحليل البعدي بالنسبة للبيانات المركبة :

إن العوامل المؤثرة على عمق وطول حفرة النهر مؤخر البوابات المركبة عديدة ويمكن صياغة علاقة عامة لكل من عمق حفرة النهر (D) وطول حفرة النهر (L) وكما يلي:

وباستخدام التحليل الأبعدي بطريقة (II-theorem) للتغيرات في المعادلة (3) تم التوصل إلى العلاقة الابعدية التالية بالنسبة للهدارات :

$$\frac{D_s}{D_{50}}, \frac{L_s}{D_{50}} = f\left(\frac{\Delta H_t}{P}, \frac{h_0}{\Delta H_t}, \frac{q_u}{q_d}, Fr_0, Re\right) \quad \dots \dots \dots (4)$$

عندما تكون قيم أرقام رينولز عالية يصل الجريان إلى الاضطراب الكامل عندها يضمن رقم رينولز في القنوات المفتوحة وبذلك يمكن استنطاق تأثيره من العلاقة (4).

5. تحليل ومناقشة النتائج :

العلاقة بين العمق النسبي لحفرة النهر (D_s/D_{50}) و رقم فرود (Fr_0) بدلالة كثافة مواد القعر للهدرات:
بما ان الجريان في قنوات مفتوحة لذا فان القوة الأساسية المؤثرة هي قوة الجذب الأرضي وعليه فان العامل الأكبر تأثيراً على الحرارة هو رقم فرود و كما موضح بالعلاقة التالية:

$$\frac{D_s}{D_{50}} = a_l + b_l \times Fr_0 \quad \text{----- (5)}$$

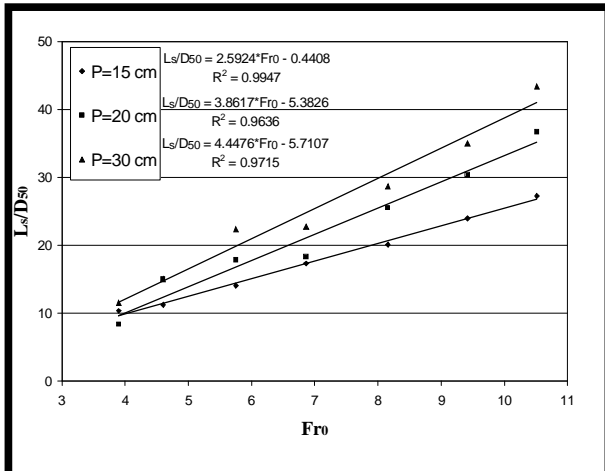
تم معالجة بيانات عمق النهر المأخوذة من التجارب المختبرية بواسطة الحاسبة وعن طريق البرنامج الجاهز (Excel) يتم الحصول على قيم (a_2, b_2) وكما موضح في الشكل (2) ومنه يتضح أن العلاقة طردية وان العمق النسبي للنهر يزداد بزيادة قيمة (Fr_0) وهذا أمر منطقي حيث أن زيادة قيمة (Fr_0) ينتج من زيادة التصريف والذي بدوره يزيد عملية النهر وان الاقطار الصغيرة للحجر تعطي اعماقاً أكبر لحفرة النهر وكذلك فإن النهر يزداد بزيادة ارتفاع الهدار عند ثبوت قطر الحصى المستخدم وزيادة الارتفاع يعني زيادة مقدار سقوط الماء عمودياً واصطدامه مع الطبقة الحصوية للقعر مما يؤدي إلى زيادة نهره ، إن معامل التحديد (R^2) ولكل الحالات المدروسة قد تراوح بين (0.9729) و (0.9911) مما يدل على علاقات طردية حدة

العلاقة بين الطول النسبي لحفرة البحر (L_s) و رقم فرود (D_{50}) بدلالة كثافة مواد القعر للهدايات: ان رقم فرود هو العامل ذو الفاعلية الاكبر في خصائص البحر مؤخر الهدايات كما اسلفنا سابقا ، وقد وضح ذلك في المعادلة أدناه :

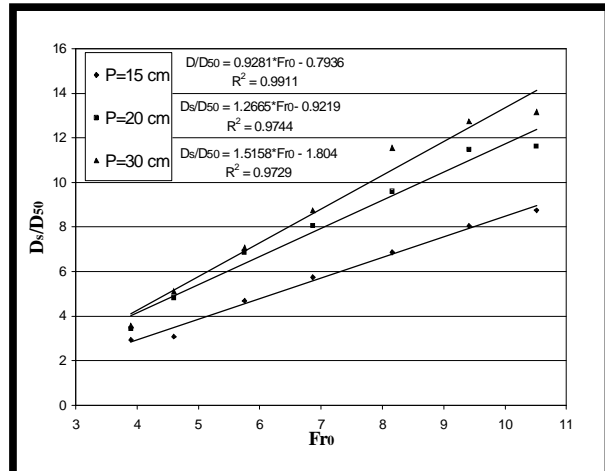
$$\frac{L_s}{D_{50}} = a_2 + b_2 \times Fr_0 \quad \text{----- (6)}$$

وبإدخال بيانات طول النهر التي تم الحصول عليها من التجارب المختبرية في البرنامج الجاهز (Excel) يتم الحصول على قيمة (L_{D50}) وكماء موضح في الشكل (3) والذي منه يتضح بأن العلاقة طردية حيث أن $L_{D50} \propto D^{0.5}$

(Fr₀) ولاية قيمة لرقم فرود فإن الارتفاع الأعلى للهدار يعطي أطوالاً أكبر لحفرة النهر وعندما يزداد قطر الحصى المستخدم يقل الطول النسبي لحفرة النهر ، إن معامل التحديد (R^2) بين (L_s/D₅₀) و (Fr₀) للهدارات ولجميع الحالات التي تم دراستها قد تراوح بين (0.9947) و (0.9947) مما يدل على علاقات طردية جيدة . ولكلة قيم المتغيرات الابعدية المستخدمة في استنتاج المعادلات الوضعية وضع جزء منها في الجداول من (6) إلى (8) وهي لنموذج الحجر المكسر (C) .



شكل (3) : العلاقة بين (L_s/D₅₀) و (Fr₀) ولجميع ارتفاعات الهدار لنموذج (A)



شكل (2) : العلاقة بين (D_s/D₅₀) و (Fr₀) ولجميع ارتفاعات الهدار لنموذج (A)

جدول (6): حسابات المتغيرات الابعدية للهدار بالارتفاع الأول (P₁) مع النموذج (C)

h' (cm)	D_s/D₅₀	Fr₀	h₀/ΔH_w	L_s/D₅₀	ΔH_w/P
2	0.95130	2.23560	0.00000	4.75651	0.93333
3	1.58550	2.63725	0.00000	5.93431	0.94667
4	2.12911	3.29657	0.00000	8.06342	0.96667
5	2.49151	3.93314	0.00000	9.87542	0.99333
6	3.30691	4.67582	0.00000	11.46093	1.00676
7	3.66931	5.39576	0.00000	13.04643	1.06000
8	4.07701	6.02476	0.00000	14.63194	1.08667

جدول (7): حسابات المتغيرات الابعدية للهدار بالارتفاع الثاني (P₂) مع النموذج (C)

h'(cm)	D_s/D₅₀	Fr₀	h₀/ΔH_w	L_s/D₅₀	ΔH_w/P
2	1.08720	2.23560	0.00000	1.90260	0.95000
3	1.63080	2.63725	0.00000	6.07022	0.96000
4	2.12911	3.29657	0.00000	9.60362	0.97500
5	2.58211	3.93314	0.00000	11.64213	0.99500
6	3.39751	4.67582	0.00000	12.59343	1.00900
7	4.30351	5.39576	0.00000	14.63194	1.04500
8	5.25481	6.02476	0.00000	16.35334	1.06500

جدول (8): حسابات المتغيرات اللابعدية للهدار بالارتفاع الثالث (P_3) مع النموذج (C)

h' (cm)	D_s/D_{50}	Fr_0	$h_0/\Delta H_w$	L_s/D_{50}	$\Delta H_w/P$
2	1.67610	2.23560	0.00000	6.16082	0.96667
3	2.03851	2.63725	0.00000	8.60702	0.97333
4	2.21971	3.29657	0.00000	10.05663	0.98333
5	3.12571	3.93314	0.00000	11.09853	0.99667
6	3.98641	4.67582	0.00000	13.31823	1.00333
7	5.20951	5.39576	0.00000	17.39524	1.03000
8	6.07022	6.02476	0.00000	19.52435	1.04333

علاقة وضعية لحساب عمق وطول النهر النسبي للهدارات :

علاقة وضعية لحساب عمق حفرة النهر النسبي (D_s/D_{50}):

لقد تم إدخال ثلاثي البيانات المتضمنة عمق النهر مؤخر الهدارات في البرنامج الإحصائي (SPSS-11.5) للحصول على علاقة وضعية لحساب العمق النسبي لحفرة النهر (D_s/D_{50}) بدلالة المتغيرات اللابعدية (Fr_0) و ($\Delta H_w/P$) وكما يأتي :

$$\frac{D_s}{D_{50}} = 0.971 \cdot (Fr_0)^{0.989} \cdot \left(\frac{\Delta H_w}{P}\right)^{0.291} \quad (7)$$

وبمعامل تحديد (R^2) يساوي (0.9311). ولفحص دقة المعادلة أعلاه تم التعويض بقيم المتغيرات اللابعدية الباقية المتمثلة بكل من (Fr_0) و ($\Delta H_w/P$) في المعادلة أعلاه للحصول على قيم محسوبة لـ (D_s/D_{50}) ومقارنتها مع قيم (D_s/D_{50}) المقاسة من التجارب (حيث أن هذه القيم المقاسة لم تستخدم في استبطان المعادلة (7)، كما في الجدول (9) حيث تراوحت نسبة الفرق بين القيم المحسوبة إلى القيم المقاسة (26.06%) و (0.425%)).

جدول (9): مقارنة بعض قيم (D_s/D_{50}) المقاسة مختبريا وأخرى محسوبة من

المعادلة (7) للهدارات

P (cm)	D_{50} (cm)	h' (cm)	D_s/D_{50} (Measured)	D_s/D_{50} (Calculated)	نسبة الاختلاف بينهما
15	1.4285	7	8.050403	9.976885	19.30946
	1.746	5	4.352806	5.317105	18.13578
	2.2075	6	3.306908	4.472598	26.06292
20	1.4285	3	4.830242	4.775194	1.152773
	1.746	3	3.321879	3.545547	6.308436
	2.2075	8	5.254813	5.841686	10.04629
30	1.4285	2	3.570179	4.063481	12.13989
	1.746	2	2.806415	3.017105	6.983192
	2.2075	7	5.209513	5.18746	0.425128

علاقة وضعية لحساب الطول النسبي لحفرة النهر (L_s/D_{50}) :

لقد تم إدخال ثلثي البيانات المتعلقة بطول النهر مؤخر الهدارات في البرنامج الإحصائي (SPSS-11.5) للحصول على علاقة وضعية لحساب الطول النسبي لحفرة النهر (L_s/D_{50}) بدلالة المتغيرات اللاابعدية ($\Delta H_w/P$) و (Fr_0) وكما يأتي :

$$\frac{L_s}{D_{50}} = 4.114 (Fr_0)^{0.825} \left(\frac{\Delta H_w}{P} \right)^{0.326} \quad (8)$$

وبمعامل تحديد (R^2) يساوي (0.9421). ولفحص دقة المعادلة أعلاه تم تعويض بعض قيم المتغيرات اللاابعدية المتمثلة بكل من (Fr_0) و ($\Delta H_w/P$) في المعادلة أعلاه للحصول على قيمة محسوبة لـ (L_s/D_{50}) ومقارنتها مع قيمة (L_s/D_{50}) المقاسة من التجارب (علماً أن هذه القيمة المقاسة لم تستخدم في استبيان المعادلة (8)) ، كما في الجدول (10) حيث بلغت نسبة الفرق بين القيم المحسوبة إلى القيم المقاسة بين (23.447%) و (2.79%) .

جدول (10): مقارنة بعض قيم (L_s/D_{50}) المقاسة مختبريا وأخرى محسوبة من

المعادلة (8) للهدارات

P (cm)	D ₅₀ (cm)	h` (cm)	D _s /D ₅₀ (Measured)	D _s /D ₅₀ (Calculated)	نسبة الاختلاف بينهما
15	1.4285	7	24.0112	28.8649	16.81524
	1.746	5	13.00115	16.9834	23.4479
	2.2075	6	11.46093	14.71806	22.13019
20	1.4285	3	15.05075	15.48274	2.790094
	1.746	3	10.02291	12.07764	17.01271
	2.2075	8	16.35334	18.47696	11.49332
30	1.4285	2	11.55058	13.5403	14.69481
	1.746	2	8.476518	10.56241	19.74822
	2.2075	7	17.39524	16.68755	4.240868

العلاقة بين العمق النسبي لحفرة النهر (D_s/D_{50}) و رقم فرود (Fr_0) بدلالة كثافة مواد القعر للبوابات

المركبة:

إن القوافل المفتوحة تتأثر بشكل كبير بالجانبية الأرضية وبالتالي فإن رقم فرود هو الأكثر تأثيراً وكما يلي :

$$\frac{D_s}{D_{50}} = a_3 + b_3 \times Fr_0 \quad (9)$$

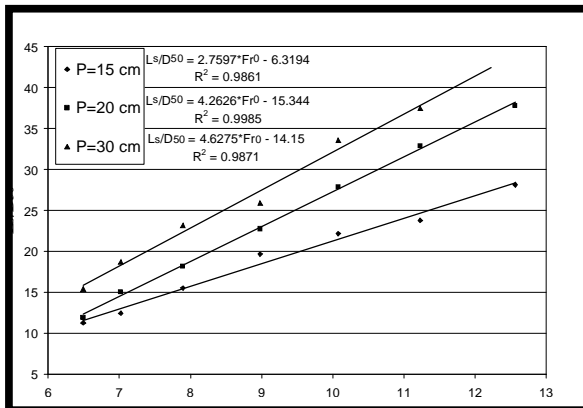
تم معالجة بيانات عمق النهر المستندة من التجارب المختبرية بواسطة الحاسبة وعن طريق البرنامج الجاهز (Excel) يتم الحصول على قيم (a_2, b_2) وكما موضح في الشكل (4) ومنه يتضح أن العلاقة طردية وان العمق النسبي للنهر يزداد بزيادة قيمة (Fr_0) وهذا أمر منطقي حيث أن زيادة قيمة (Fr_0) ينتج من زيادة التصريف والذي يدوره يزيد عملية النهر وان الأقطار الصغيرة للحجر تعطي أعمقاً أكبر لحفرة النهر وكذلك فإن النهر يزداد بزيادة ارتفاع الهدار عند ثبوت قطر الحصى المستخدم وزيادة الارتفاع يعني زيادة مقدار سقوط الماء عمودياً واصطدامه مع الطبقة الحصوية للقعر مما يؤدي إلى زيادة نهره . كما واتضح بأن معامل التحديد (R^2) للعلاقات بين (D_s/D_{50}) و (Fr_0) للبوابات المركبة ولجميع الحالات المدروسة تراوح بين (0.972) و (0.9866) مما يدل على وجود علاقات طردية جيدة .

العلاقة بين الطول النسبي لحفرة النهر (L_s/D_{50}) و رقم فرود (Fr_0) بدلالة كثافة مواد القعر للبوابات المركبة:

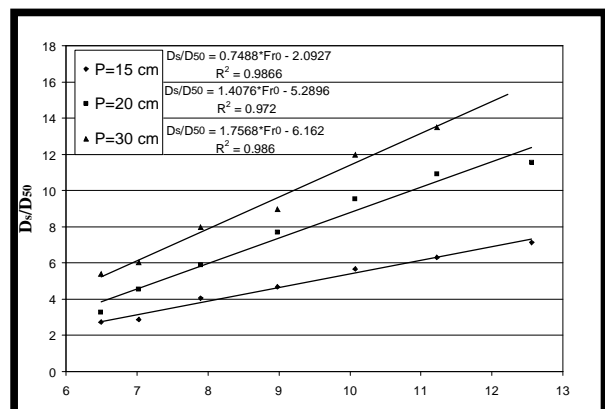
رقم فرود هو العامل المؤثر على النهر مؤخر البوابات المركبة ، لذا تم تحليل البيانات المختبرية ووجد بأن العلاقة الخطية هي أفضل العلاقات التي تربط بين (L_s/D_{50}) و (Fr_0) والموضحة في أدناه :

$$\frac{L_s}{D_{50}} = a_4 + b_4 \times Fr_0 \quad (10)$$

وبإدخال القراءات المختبرية المتمثلة بطول النهر والتي تم الحصول عليها من التجارب في البرنامج الجاهز (Excel) تم ايجاد قيم معاملات المعادلة أعلاه (a_4, b_4) بثبوت قطر الحصى المستخدم وثبت ارتفاع البوابة المركبة وثبت ارتفاع الفتحة أسفل البوابة المركبة واتضح بأن العلاقة طردية حيث تزداد قيمة (L_s/D_{50}) عند زيادة قيمة (Fr_0) ولأن قيمة من (Fr_0) فإن الارتفاع الأعلى للبوابة المركبة يعطي قيمة أعلى للطول النسبي لحفرة النهر في حالة ثبوت ارتفاع الفتحة أسفل البوابة المركبة وكما موضح في الشكل (5) وهذا منطقي حيث أن البوابة الأعلى تزيد من ارتفاع سقوط الماء الذي يصطدم بالحصى ويرفعه إلى الأعلى من ثم التصريف المار تحت البوابة المركبة يزيح الحصى بعيدا . كما اتضح بأن معامل التحديد (R^2) للعلاقات بين (L_s/D_{50}) و (Fr_0) للبوابات المركبة ولجميع الحالات التي تم دراستها تراوح بين (0.90) و (0.9985) مما يدل على علاقات طردية جيدة.



شكل (5) : العلاقة بين (L_s/D_{50}) و (Fr_0) للنموذج (A) وللبوابة المركبة بفتحة ارتفاعها (h₀=1cm) ولجميع الارتفاعات



شكل (4) : العلاقة بين (D_s/D_{50}) و (Fr_0) للنموذج (A) وللبوابة المركبة بفتحة ارتفاعها (h₀=1cm) ولجميع الارتفاعات

العلاقة بين العمق النسبي لحفرة النهر (D_s/D_{50}) و التصريف النسبي (q_u/q_d) للبوابات المركبة :
نظرالتأثير الذي يتسبب به التغير في نسبة التصريف المار فوق البوابة المركبة إلى التصريف المار تحتها على عمق حفرة النهر مؤخر تلك البوابات ، فقد تم تحليل البيانات المختبرية وجد بأن العلاقة الخطية هي أفضل العلاقات التي تربط بين كل من (D_s/D_{50}) و (q_u/q_d) والموضحة في أدناه :

$$\frac{D_s}{D_{50}} = a_5 + b_5 \times \frac{q_u}{q_d} \quad (11)$$

وبإدخال بيانات عمق النهر التي تم الحصول عليها من التجارب المختبرية في البرنامج الجاهز (Excel) تم ايجاد قيم معاملات المعادلة أعلاه (a_5, b_5) بثبوت قطر الحصى المستخدم وثبت ارتفاع البوابة المركبة وثبت ارتفاع الفتحة أسفل البوابة وكما مبين في الشكل (6) ومنه يتضح أن عمق النهر النسبي يزداد بزيادة التصريف النسبي ولكل الحالات المدروسة وزيادة التصريف النسبي تعني زيادة التصريف الساقط من فوق حافة البوابة ومن ثم تحريك الحصى أكثر بينما يساعد التصريف المار تحت البوابة على إزاحة الحصى بعيدا وبذلك تكون عملية النهر أسهل ، وكذلك يمكن ملاحظة أن معامل التحديد (R^2) عال في هذه الأشكال مما يعني أن العلاقة قوية وان التصريف النسبي له تأثير كبير على العمق النسبي لحفرة

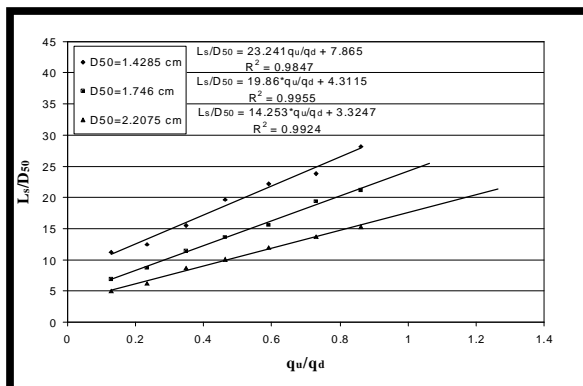
النحر . لقد اتضح بأن معامل التحديد (R^2) بين (D_s/D_{50}) و (q_u/q_d) للبوابات المركبة وكل الحالات المدروسة تراوح بين (0.9608) و (0.99040) مما يدل على علاقات طردية جيدة.

العلاقة بين الطول النسبي لحفرة النحر (L_s/D_{50}) و التصريف النسبي (q_u/q_d) للبوابات المركبة:
نظراً للتأثير المهم الذي يسببه التغير في نسبة التصريف النسبي على طول حفرة النحر مؤخر البوابات المركبة ، فقد تم تحليل البيانات المختبرية ووجد بأن العلاقة الخطية هي أفضل العلاقات التي تربط بين كل من (L_s/D_{50}) و (q_u/q_d) والمواضحة في أدناه :

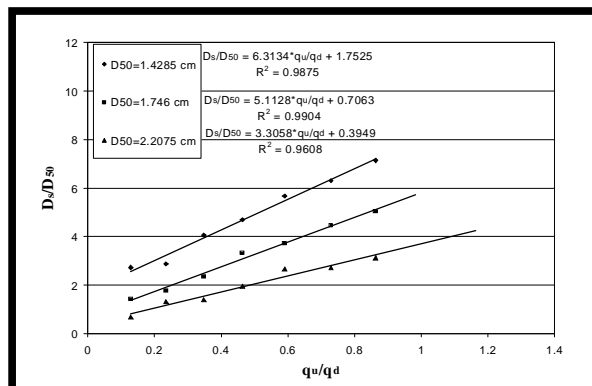
$$\frac{L_s}{D_{50}} = a_6 + b_6 \times \frac{q_u}{q_d} \quad (12)$$

وبادخال قياسات طول النحر التي تم الحصول عليها من التجارب المختبرية في البرنامج الجاهز (Excel) تم ايجاد قيم معاملات المعادلة أعلاه (a_6, b_6) بثبوت قطر الحصى المستخدم وثبوت ارتفاع البوابة المركبة وثبوت ارتفاع الفتحة أسفل تلك البوابة وكما في الشكل (7) ومنه يتضح بأن هناك علاقة طردية بين (L_s/D_{50}) و (q_u/q_d) أي أن الطول النسبي لحفرة النحر يزداد بزيادة التصريف النسبي (q_u/q_d) ولكل الحالات التي تم دراستها وهذا يعني أن زيادة التصريف العلوي يسبب تحريك أكبر للحجر ثم إن التصريف السفلي يؤدي إلى إزاحة الحصى بعيداً عن البوابة ويمكن ملاحظة قوة العلاقات من خلال القيم العالية لمعاملات التحديد (R^2) وكذلك يلاحظ بأن الطول النسبي للنحر أقل في الأقطار الكبيرة للحجر المستخدم وإنفس قيم التصريف النسبي . لقد اتضح بأن معامل التحديد (R^2) للعلاقات بين (L_s/D_{50}) و (q_u/q_d) ولجميع الحالات التي تم دراستها قد تراوح بين (0.9955) و (0.9847) مما يدل على علاقات طردية جيدة .

ونظراً لكثره قيم المتغيرات الاباعية المستخدمة في استنتاج المعادلات الوضعية ارتائنا وضع جزء منها في الجداول من (11) إلى (13) وهي لنموذج الحجر المكسر (B) .



شكل (7) : العلاقة بين (q_u/q_d) و (L_s/D_{50}) للبوابة المركبة بارتفاع (P=15cm) وبفتحة ارتفاعها ($h_0=1cm$) ولجميع نماذج مواد



شكل (6) : العلاقة بين (q_u/q_d) و (D_s/D_{50}) للبوابة المركبة بارتفاع (P=15cm) وبفتحة ارتفاعها ($h_0=1cm$) ولجميع نماذج مواد

جدول (11): حسابات المتغيرات الاباعية للبوابة المركبة بالارتفاع الأول والفتحة الأولى ($V_{1,1}$) مع النموذج (B)

$h'(cm)$	D_s/D_{50}	Fr_0	$h_0/\Delta H_t$	L_s/D_{50}	q_u/q_d	$\Delta H_t/P$
2	1.43184	5.28979	0.0840	6.93013	0.1287	0.79333
3	1.77549	5.72073	0.0833	8.70561	0.2343	0.80000
4	2.34822	6.43178	0.0826	11.45475	0.3476	0.80667
5	3.32188	7.31521	0.0826	13.63116	0.4637	0.80667
6	3.72279	8.20941	0.0813	15.57847	0.5908	0.82000
7	4.46735	9.14671	0.0819	19.35853	0.7291	0.81333
8	5.04009	10.23483	0.0806	21.19129	0.8628	0.82667

جدول (12): حسابات المتغيرات الابعدية للبوابة المركبة بالارتفاع الثاني والفتحة الأولى ($V_{1,2}$) مع النموذج (B)

h' (cm)	D_s/D_{50}	Fr_0	$h_0/\Delta H_t$	L_s/D_{50}	q_u/q_d	$\Delta H_t/P$
2	1.83276	5.28979	0.0591	9.04926	0.1287	0.80476
3	2.34822	5.72073	0.0588	10.13746	0.2320	0.80952
4	3.37915	6.43178	0.5848	13.63116	0.3446	0.81429
5	3.55097	7.31521	0.5848	15.34937	0.4571	0.81429
6	4.69645	8.20941	0.0578	18.55670	0.5809	0.82381
7	5.61283	9.14671	0.0581	21.24857	0.7117	0.81905
8	6.70103	10.23483	0.0575	26.63230	0.8375	0.82857

جدول (13): حسابات المتغيرات الابعدية للبوابة المركبة بالارتفاع الثالث والفتحة الأولى ($V_{1,3}$) مع النموذج (B)

h' (cm)	D_s/D_{50}	Fr_0	$h_0/\Delta H_t$	L_s/D_{50}	q_u/q_d	$\Delta H_t/P$
2	4.35281	5.28979	0.03717	9.45017	0.1261	0.86774
3	4.75372	5.72073	0.03704	12.60023	0.2992	0.87097
4	4.86827	6.43178	0.03690	15.06300	0.3386	0.87419
5	6.30011	7.31521	0.03690	19.47308	0.4508	0.87419
6	7.33104	8.20941	0.03663	23.76861	0.5679	0.88065
7	9.27835	9.14671	0.03676	28.06415	0.6946	0.87742
8	-	-	-	-	-	-

علاقة وضعية لحساب عمق وطول النهر النسبي للبوابات المركبة :

علاقة وضعية لحساب العمق النسبي لحفرة النهر (D_s/D_{50}) مؤخر البوابات المركبة :

لقد تم إدخال معظم البيانات المتضمنة عمق النهر مؤخر البوابات المركبة في البرنامج الإحصائي (SPSS-11.5) للحصول على علاقة وضعية لحساب العمق النسبي لحفرة النهر (D_s/D_{50}) بدلالة المتغيرات الابعدية (Fr_0) و ($\Delta H_t/P$) و (q_u/q_d) و ($h_0/\Delta H_t$) وكما يأتي :

$$\frac{D_s}{D_{50}} = 1.421 \frac{(Fr_0)^{0.751} \left(\frac{\Delta H_t}{P} \right)^{0.451} \left(\frac{q_u}{q_d} \right)^{0.517}}{\left(\frac{h_0}{\Delta H_t} \right)^{0.122}} \quad (13)$$

وبمعامل تحديد (R^2) يساوي (0.8989). ولفحص دقة المعادلة أعلاه تم تعويض بعض قيم المتغيرات الابعدية المتمثلة بكل من (Fr_0) و ($\Delta H_t/P$) و (q_u/q_d) و ($h_0/\Delta H_t$) في المعادلة أعلاه للحصول على قيم محسوبة لـ (D_s/D_{50}) ومقارنتها مع قيم (D_s/D_{50}) المقاسة من التجارب (حيث إن هذه القيم المقاسة لم تستخدم في استبطان المعادلة (13)) ، كما في الجدول (14) حيث بلغت نسبة الفرق بين القيم المحسوبة إلى القيم المقاسة بين (1.2%) و (36.81%).

علاقة وضعية لحساب الطول النسبي لحفرة النهر (L_s/D_{50}) مؤخر البوابات المركبة :

لقد تم إدخال معظم البيانات المتعلقة بطول النهر مؤخر البوابات المركبة في البرنامج الإحصائي (SPSS-11.5) للحصول على علاقة وضعية لحساب الطول النسبي لحفرة النهر (L_s/D_{50}) بدلالة المتغيرات (Fr_0) و ($\Delta H_t/P$) و (q_u/q_d) و ($h_0/\Delta H_t$) وكما يأتي :

$$\frac{L_s}{D_{50}} = 3.1232 \frac{(Fr_0)^{0.899} \left(\frac{\Delta H_t}{P} \right)^{0.246} \left(\frac{q_u}{q_d} \right)^{0.621}}{\left(\frac{h_0}{\Delta H_t} \right)^{0.171}} \quad (14)$$

جدول (14): مقارنة بعض قيم (D_s/D_{50}) المقاسة مختبريا وأخرى محسوبة من المعادلة (13) للبوابات المركبة

P (cm)	h_0 (cm)	D_{50} (cm)	h' (cm)	D_s/D_{50} (Measured)	D_s/D_{50} (Calculated)	نسبة الاختلاف بينهما
15	3	1.4285	5	5.6003	5.668	1.2
	2	1.746	4	2.7491	3.802	27.69
	3	1.746	4	3.3219	3.629	8.465
	2	2.2075	7	11.761	9.084	36.81
20	3	1.4285	7	12.741	10.11	26.04
	1	1.746	2	1.8328	2.285	19.77
	2	1.746	4	4.3528	4.092	6.362
	3	1.746	6	7.4456	6.794	9.597
	2	2.2075	3	2.3103	2.355	1.914
	3	2.2075	4	3.3069	3.438	3.808
	1	1.4285	5	8.9604	7.049	9.24
	2	1.4285	7	14.771	11.4	12.39
30	1	1.746	5	6.3001	6.092	3.411
	2	1.746	7	9.8511	8.096	21.68
	1	2.2075	2	2.0838	1.876	11.09
	2	2.2075	4	3.8505	3.352	14.88

وبمعامل تحديد (R^2) يساوي (0.9212). ولفحص دقة المعادلة أعلاه تم تعويض بعض قيم المتغيرات الابعدية المتمثلة بكل من (Fr_0) و (q_d/q_0) و ($\Delta H/P$) و ($h_0/\Delta H$) في المعادلة أعلاه للحصول على قيم محسوبة لـ (L_s/D_{50}) ومقارنتها مع قيم (L_s/D_{50}) المقاسة من التجارب (عما بأن هذه القيم المقاسة لم تستخدم في استنباط المعادلة (14)) ، كما في الجدول (15) حيث بلغت نسبة الفرق بين القيم المحسوبة إلى القيم المقاسة بين (0.884%) و (50.404%).

جدول (15): مقارنة بعض قيم (L_s/D_{50}) المقاسة مختبريا وأخرى محسوبة من المعادلة (14) للبوابات المركبة

P (cm)	h_0 (cm)	D_{50} (cm)	h' (cm)	L_s/D_{50} (Measured)	L_s/D_{50} (Calculated)	نسبة الاختلاف بينهما
15	3	1.4285	5	19.951	17.69805	12.72994
	2	1.746	4	12.14204	11.0253	10.12888
	3	1.746	4	13.68843	10.39327	31.70476
	2	2.2075	3	6.387316	30.82877	20.29775
	2	1.4285	7	37.17186	34.36942	12.22747
20	3	1.4285	7	38.57193	6.016622	50.40425
	2	1.746	4	14.20389	11.88	19.56143
	3	1.746	6	23.76861	21.44184	10.85158
	2	2.2075	4	9.286523	6.17484	6.375495
	3	2.2075	4	9.739524	9.642811	1.002958
	1	1.4285	5	25.9013	23.11044	1.55472
	2	1.4285	7	39.55198	40.03916	5.776739
30	1	1.746	5	19.47308	19.30245	0.883964
	2	1.746	7	29.49599	26.78246	10.13176
	1	2.2075	2	6.523216	4.769868	36.75884
	2	2.2075	4	12.23103	9.389359	30.26481

6. الاستنتاجات :-

تم التوصل إلى مايلي :-

1. من التحليل البعدي للعوامل المؤثرة على عمق وطول حفرة النحر مؤخر الهدارات والبوابات المركبة وبوابات الكسح ومن تحليل النتائج التي تم الحصول عليها من التجارب المختبرية تم التوصل إلى العلاقات الوضعية التالية :-
 أ - للهدارات تم الحصول على علاقة لابعدية للعمق النسبي لحفرة النحر (D_s/D_{50}) بمعامل تحديد (R^2) يساوي (0.9311) وعلاقة لابعدية اخرى لحساب الطول النسبي لحفرة النحر (L_s/D_{50}) بمعامل تحديد (R^2) يساوي (0.9421) وكلتا العلاقتين بدلالة رقم فرود بدلالة كثافة مواد القعر (Fr_0) والسقوط النسبي للهدارات ($\Delta H_w/P$).
 ب - للبوابات المركبة فقد تم الحصول على علاقة لابعدية للعمق النسبي لحفرة النحر (D_s/D_{50}) بمعامل تحديد (R^2) يساوي (0.8989) وعلاقة لابعدية اخرى لحساب الطول النسبي لحفرة النحر (L_s/D_{50}) بمعامل تحديد (R^2) يساوي (0.9212) وكلتا العلاقتين بدلالة كل من رقم فرود بدلالة كثافة مواد القعر (Fr_0) والسقوط النسبي للبوابات المركبة ($\Delta H_w/P$) وارتفاع الفتحة النسبي ($h_0/\Delta H_i$) والتصريف النسبي (q_u/q_d).
2. تم الحصول على العديد من العلاقات الخطية الطردية لكل من عمق وطول حفرة النحر النسبي (D_s/D_{50}) و(L_s/D_{50}) على التوالي مع رقم فرود (Fr_0) بدلالة كثافة مواد القعر للهدارات والبوابات المركبة وكذلك مع التصريف النسبي (q_u/q_d) للبوابات المركبة.
3. اتضح من التجارب التي أجريت هو أن عمق وطول حفرة النحر عندما يمر الجريان أعلى وأسفل البوابة المركبة أقل عنه فيما لو كان الجريان يمر أعلى الهدار فقط ولكن نسبة القليل بالنسبة لكل من عمق وطول حفرة النحر تقل بزيادة ارتفاع الفتحة أسفل البوابة المركبة وذلك لأن البوابة المركبة تعمل حيث كبوابة كسر أكثر مما لو كانت بوابة مركبة فيكون بذلك الجريان الأفقي أكثر قدرة على إزاحة مواد القعر وبالتالي زيادة النحر .
4. بالنسبة لشكل حفرة النحر في مؤخر البوابات المركبة اتضح أنه كلما ازداد ارتفاع الفتحة السفلية فأن قمة الحصى المتكدس خلف حفرة النحر تكون مسطحة أكثر وذلك بسبب زيادة التصريف السفلي .
5. يكون تأثير الجريان السفلي للبوابات المركبة ايجابيا في تقليل عمق النحر في البوابات ذات الارتفاع الواطئ (مساو وأقل من 20 سم) في حين ينعكس ذلك التأثير في البوابات ذات الارتفاع العالي (أكثر من 20 سم).
6. استخدام الفتحات أسفل الهدارات كصممات أمان لإمرار تصارييف أعلى مع عدم الخشية من الزيادة في عمق حفرة النحر في مؤخر تلك الهدارات وبالأخص في الهدارات الواطئة .
7. من الممكن استخدام الحصى المكسر في فرش الأرضية في مؤخر الهدارات والبوابات المركبة بدلا عن الصبات الخرسانية الأمر الذي يقلل من الكلفة الاقتصادية لتبطين تلك الأرضيات.

7. المصادر العربية والأجنبية :-

1. الحافظ ، إبراهيم عادل ، (2005) . " دراسة مختبرية للنحر في الأرضيات الحجرية مؤخر الهدارات المثلثية " . رسالة ماجستير ، قسم هندسة الموارد المائية ، كلية الهندسة ، جامعة الموصل .
2. القطبان ، احمد عبد الحميد احمد (2007) . " دراسة مختبرية للنحر مؤخر الهدارات والبوابات المركبة وبوابات الكسح " . رسالة ماجستير ، قسم هندسة الموارد المائية ، كلية الهندسة ، جامعة الموصل .
3. Asai, K. , Mimura, Y. and Kawamoto, N. (2002) . " Experimental Study on Scour and Sedimentation of River Bed by Overflow from Weir " . J. Hyd. Res., IAHR, Vol. 15, No. 1, pp. 45- 50 .
4. British Standard Institution (1965) . " Method of Measurement of Liquid Flow in Open Channel " . BS3680 , part (A) , London , England.
5. Chen, Z. , Shao, X. and Zhang, J. (2005) . " Experimental Study on the Upstream Water Level Rise and Downstream Scour Length of a Submerged Dam " . J. Hyd. Res., IAHR, Vol. 43, No. 6, pp. 703-709.

6. **Chow, V. T. (1959)** . " Open Channel Hydraulics " . Mac Graw -Hill International Company , International Student Edition .
7. **Dargahi, B. (2003)** . " Scour Development Downstream of Spillway " . J. Hyd. Res., IAHR, Vol. 41, No. 4, pp. 417-426 .
8. **Simons, D. and Şentürk, F. (1992)** . " Sediment Transport Technology " .Water Resources Publications , Littleton, Colorado, U.S.A.
9. **Uyumaz, A. (1988)** . " Scour Downstream of Vertical Gate " . J . Hyd. Eng., ASCE, Vol. 114, No. 7, pp. 811- 816 .

تم اجراء البحث في كلية الهندسة – جامعة الموصل